

# Algoritmos de Multiplicação de Montgomery em Hardware e Impacto no Algoritmo RSA

<sup>1</sup>Marçal Luiz Bissoli, <sup>1</sup>Kalinka R.L.J. Castelo Branco, <sup>2</sup>Edward David Moreno

<sup>1</sup>Univem – Centro Universitário Eurípides de Marília, Marília, S.P

<sup>2</sup>UEA (Universidade do Estado do Amazonas) & Empresa BenQ, Manaus, AM, Brasil

[marcalbissoli@gmail.com](mailto:marcalbissoli@gmail.com), [kalinka@univem.edu.br](mailto:kalinka@univem.edu.br), [edwdavid@gmail.com](mailto:edwdavid@gmail.com)

**Resumo:** Neste artigo descreve-se o método de Montgomery para multiplicação modular, bem como são examinados dois dos seus algoritmos, a saber: O Algoritmo Rápido de Montgomery (*Fast Montgomery Algorithm*) e o Algoritmo Mais Rápido de Montgomery (*Faster Montgomery algorithm*). São ainda apresentadas dois diagramas de máquinas de Estados correspondentes à descrição em VHDL desses algoritmos e a respectiva implementação em FPGAs. No final são apresentadas comparações entre os desempenhos dos algoritmos Rápido e Mais Rápido de Montgomery, focando seu impacto no algoritmo RSA para diferentes tamanhos de chaves.

## 1. Introdução

O algoritmo criptográfico RSA é baseado no cálculo de  $C = M^e \bmod n$  para cifrar uma mensagem e  $T = C^d \bmod n$  para decifrá-la, onde T é o texto claro e C, o texto criptografado. Deve ser observado que alguns cálculos básicos, conhecidos como exponenciação modular, são usados tanto para a cifragem quanto para a decifragem [Rivest, 1998].

A segurança do sistema advém do método do quais os parâmetros para exponenciação modular são derivados. O expoente (**e**) deve ser um número primo. O módulo (**n**) deve ser o produto de dois números primos usualmente chamados de **p** e **q**. O expoente privado (**d**) é derivado de **p**, **q** e **e**.

Deduzir os fatores primos de um número muito grande é muito difícil e se torna muito mais difícil à medida que se usam números cada vez maiores. Assim, se **p** e **q** são suficientemente grandes, é impossível fatorar **n** e obter a chave privada em um período razoável de tempo, mesmo com os computadores mais rápidos.

Atualmente, **n** é um número escolhido entre números de 512 a 2048 bits [Moreno, 2005], [Bayley, 1999]. Números com 2048 bits poderiam utilizar durante anos centenas de milhares de computadores para deduzir os números **p** e **q** das chaves públicas [McTaggart, 2006], [Eberle, 2004]. Como se vê, a matemática sob o algoritmo RSA é resumida em duas operações, multiplicação modular e exponenciação modular. Logo, para se criar uma implementação eficiente do RSA deve-se projetar eficientemente a multiplicação modular de

dois números. Entretanto, a multiplicação modular tem um grande inconveniente, a divisão deve ser empregada para que se obtenha o valor do resto. A divisão é uma operação complexa que consome recursos e tempo do computador [Bissoli, 2007].

Dessa forma, embora o RSA ofereça excelente segurança criptográfica, por causa da complexidade dos cálculos matemáticos envolvidos no algoritmo, ele cifra e decifra mensagens de forma muito lenta, quando comparado aos algoritmos de chave privada. Dessa forma, a busca por métodos que aumentem a velocidade de cifragem/decifragem quando se utiliza o criptosistema RSA é muito grande.

O método recorrente de se obter uma potência modular ( $x^n \bmod m = x^{n-1} \bmod m \cdot x \bmod m$ ) é impraticável para aplicações mais modernas. Métodos alternativos têm sido propostos de forma a obter o resto mais rapidamente nas operações de divisão [Dally, 2003/2002], [Khaldoon, 2002], [Gutub, 2000], [Todorov, 2000], [Prince, 2002].

A solução mais popular e útil tem sido o emprego do algoritmo de Montgomery para multiplicação modular [Blum, 1999], [Shantz, 2000], [Koc, 1996]. Esse algoritmo reduz a complexidade da multiplicação modular, especialmente se os números envolvidos são muito grandes como é o caso da criptografia com chaves públicas RSA.

Assim, neste artigo apresenta-se uma forma de realizar a multiplicação e exponenciação modular de forma rápida, usando três diferentes versões do algoritmo de Montgomery. Esses algoritmos são explicados, e foram descritos em VHDL e mapeados em FPGAs. Neste trabalho foi possível realizar implementações do RSA para chaves de 16, 32 e 64 bits. O interessante é discutir os resultados e apresentar os possíveis pontos críticos dessas implementações.

O artigo está organizado em 5 seções. A seção 2 apresenta uma breve descrição da multiplicação de Montgomery, enquanto a seção 3 apresenta três versões diferentes do algoritmo, discutindo pontos de melhorias e otimização, e na seção 4 se enfatiza em aspectos de implementação e desempenho em FPGAs. Finalmente, a seção 5 apresenta as conclusões e sugestões para trabalhos futuros.

## 2. A Multiplicação de Montgomery

A multiplicação modular de *Montgomery* baseia-se em operações realizadas no domínio de Montgomery (ver figura1). Esta operação calcula:

$$MM(X,Y) = XYR^{-1} \text{ mod}(m),$$

onde  $m$  é um inteiro no intervalo  $2^{n-1} \leq m < 2^n$  tal que  $\text{MDC}(m,R) = 1$ ,

que ocorre sempre que  $m$  for ímpar já que  $R = 2^n$  é obrigatoriamente par.

O algoritmo transforma um inteiro no intervalo  $[0, m-1]$  em outro inteiro do mesmo intervalo ao qual denominaremos  $m$ -resto do inteiro referido anteriormente. Então, diz-se que o  $m$ -resto está no domínio de Montgomery.

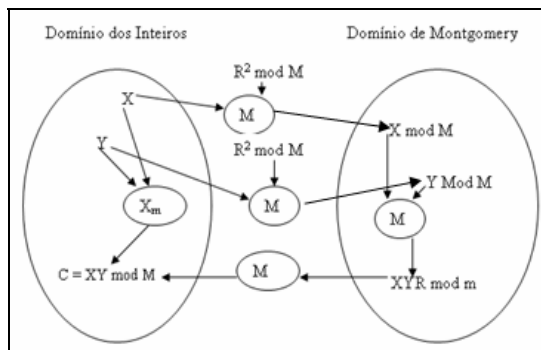


Figura 1 – Multiplicação de Montgomery

A seguir, mostra-se a multiplicação modular  $Z$  de dois inteiros  $X$  e  $Y$  utilizando o método de *Montgomery*. Define-se em seguida a multiplicação de *Montgomery* ( $MM$ , ver figura 1). Para tanto, são introduzidas as seguintes definições e notações:

- $m$  é o módulo da multiplicação modular.
- $X$  é o multiplicador da multiplicação modular.
- $Y$  é o multiplicando da multiplicação modular.
- $Z$  é o resultado da multiplicação modular.
- $R$  é uma constante igual a  $2^n$ .
- $R^{-1}$  é o inverso multiplicativo de  $R \text{ mod } m$  ( $R \cdot R^{-1} \text{ mod } m = 1$ )

As imagens de  $X$  e  $Y$ ,  $X'$  e  $Y'$  (no domínio de Montgomery), respectivamente, são obtidas por:

$$X' = MM(X, R^2) = X \cdot R^2 \cdot R^{-1} \text{ mod } m = X \cdot R \text{ mod } m$$

$$Y' = MM(Y, R^2) = Y \cdot R^2 \cdot R^{-1} \text{ mod } m = Y \cdot R \text{ mod } m.$$

A imagem  $Z'$  de  $Z$  é calculada efetuando-se a multiplicação de *Montgomery* nas imagens  $X'$  e  $Y'$ :

- $Z' = MM(X', Y') = MM(X \cdot R, Y \cdot R) \text{ mod } m = X \cdot Y \cdot R \text{ mod } m$  A multiplicação modular  $Z$  é obtida por  $MM(Z', 1)$  assim,

$$\bullet Z = MM(Z', 1) = X \cdot Y \cdot R \cdot R^{-1} \text{ mod } m = X \cdot Y \text{ mod } m = Z$$

A grande vantagem da multiplicação de Montgomery em comparação com outras multiplicações modulares é que com simples operações matemáticas (adição e multiplicação) e pouco dispêndio de processamento, ela fornece rapidamente os resultados requeridos. A divisão e também a inversão são realizadas por meio de ações simples como um deslocamento.

## 3. Três Versões do Algoritmo de Montgomery

O método clássico para computar a multiplicação modular é efetuar a multiplicação e então subtrair o módulo diversas vezes até que se obtenha um resultado menor do que o módulo. Este método é ineficiente e tem baixa velocidade computacional [Chiaromonte, 2006], [Muzzi, 2005]. A ideia de Montgomery é reduzir os tamanhos dos resultados intermediários para uma quantidade fixa de  $n+1$  bits. Isto é obtido intercalando-se as multiplicações e adições (passos 3 e 4 da Figura 2) com divisões por 2 (Passo 5 da Figura 2), reduzindo-se, dessa forma, o tamanho do comprimento em bits de cada resultado intermediário em um bit.

A figura 2 apresenta um primeiro algoritmo de multiplicação seguindo a indicação dada no domínio de Montgomery, para o qual se necessita da seguinte notação:

- Dados:  $X, Y, M$  sendo  $0 \leq X, Y < M$
- Resultado:  $P = X \cdot Y \cdot 2^{-n} \text{ mod } M$
- $n$ : número de bits em  $X$
- $x_i$ :  $i$ -ésimo bit de  $X$
- $p_0$ : bit menos significativo de  $P$

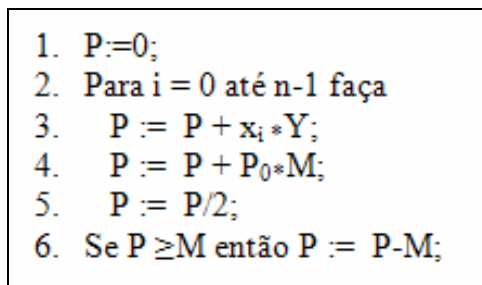


Figura 2. Multiplicação de Montgomery

A maior parte das soluções de multiplicação modular é baseada no algoritmo de Montgomery [Koc, 1996], [Savas, 2000], [Shantz, 2001], [Blum, 1999], [Dally, 2003].

A ideia básica de Montgomery é a seguinte: Somar um múltiplo de  $M$  no resultado intermediário não modifica o resultado final, porque o resultado é computado com módulo  $M$ , onde  $M$  é um número ímpar. Assim, em cada adição no laço (loop) interno, o bit menos

significativo do resultado intermediário é inspecionado. Se ele é 1, isto significa que o resultado intermediário é ímpar, então se adiciona  $M$  para torná-lo par. O número par pode ser dividido por 2 sem deixar resto. Esta divisão por 2 reduz novamente o resultado intermediário para  $n+1$  bits. Após  $n$  passos obtêm-se na realidade uma divisão por  $2^n$ .

A multiplicação de Montgomery exige dois passos no mesmo processo de multiplicação, conseqüentemente, dobrando o tempo de computação [Bissoli, 2007].

O primeiro passo computa  $P = X * Y * 2^{-n} \text{ mod } M$  e o segundo computa  $P * 2^{2n} * 2^{-n} \text{ mod } M = X * Y \text{ mod } M$ , que é o resultado desejado. Em compensação, é muito fácil de implementar, já que vai se operar somente sobre o bit menos significativo e não necessita de nenhuma comparação. O algoritmo de Montgomery pode ser implementado utilizando-se *Carry Save Adders* com uma representação redundante dos resultados intermediários porque somam três operandos para a obtenção de apenas dois valores.

```

1. S := 0; C := 0;
2. Para i = 0 até n-1 faça
3.   S, C := S + C + Xi * Y;
4.   S, C := S + C + S0 * M;
5.   S := S/2; C := C/2;
6. P := S + C;
7. Se P ≥ M então P := P - M;

```

Figura 3. Multiplicação Rápida de Montgomery

Uma modificação do algoritmo de Montgomery usando *Carry Save adders* é apresentada na Figura 3, onde se utiliza a seguinte notação:

- Dados:  $X, Y, M$  sendo  $0 \leq X, Y < M$
- Resultado:  $P = X * Y * 2^{-n} \text{ mod } M$
- $n$ : número de bits em  $X$
- $x_i$ :  $i$ -ésimo bit de  $X$
- $s_0$ : bit menos significativo de  $S$

As adições dos passos 6 e 7 são adições convencionais e por essa razão, não tão rápidas como as adições dos passos 3 e 4, mas como são executadas apenas uma vez elas são insignificantes em termos de dispêndio de tempo em relação àquelas do *loop*, que são executadas  $n$  vezes cada.

A Figura 5 mostra uma arquitetura para implementação em *hardware* do algoritmo 2 de Montgomery. A parte mais significativa na ocupação de área são os dois *Carry Save Adders* necessários para se computar os valores intermediários de  $S$  e no *loop* do algoritmo 2 (rápido de Montgomery). Cada *Carry save Adder* é composto de  $n$  somadores completos.

A ocupação de *Hardware* para a implementação do *loop* do algoritmo 2 (chamado por nós de algoritmo rápido de Montgomery) pode ser reduzida mediante a pré-computação de quatro possíveis valores a serem somados ao resultado intermediário no interior do *loop*. Antes da divisão de  $C$  e  $S$  por 2, incrementa-se um valor  $I$  a  $C$  e  $S$  que podem ser obtidos de quatro formas diferentes, a saber:

1. Se a soma dos valores antigos de  $C$  e  $S$  é um número par e o bit atual de  $x_i$  de  $X$  é zero, então  $I = 0$ . Isso significa que  $C$  e  $S$  não serão incrementados.
2. Se a soma dos valores antigos de  $C$  e  $S$  é um número ímpar e o bit atual  $x_i$  de  $X$  é zero, então  $I = M$ .
3. Sendo o bit atual  $x_i$  de  $X$  igual a 1, se a soma dos antigos valores de  $C$  e  $S$  é par e o valor de  $x_i * Y$  também é par ou a soma dos antigos valores de  $C$  e  $S$  é ímpar e o valor de  $x_i * Y$  também é ímpar, então  $I = Y$ .
4. Sendo o bit atual  $x_i$  de  $X$  igual a 1, se a soma dos antigos valores de  $C$  e  $S$  é par e o valor de  $x_i * Y$  é ímpar ou a soma dos antigos valores de  $C$  e  $S$  é ímpar e o valor de  $x_i * Y$  é par, então  $I = Y + M$ .
5.  $Y + M$  pode ser pré-computado antes do *loop*. Isso economiza uma soma que pode ser trocada por uma escolha da parcela correta a ser somada aos antigos valores de  $S$  e  $C$ .

O algoritmo 3, chamado por nós de o mais rápido – do original *Faster Montgomery Multiplication*), aproveita essa idéia e é uma modificação do algoritmo 2 de Montgomery. Esse algoritmo é mais bem explicado na figura 5, e na figura 6 que apresenta uma arquitetura para este algoritmo, onde é necessário ter a seguinte notação:

- Dados:  $X, Y, M$  sendo  $0 \leq X, Y < M$
- Resultado:  $P = X * Y * 2^{-n} \text{ mod } M$
- $n$ : número de bits em  $X$
- $x_i$ :  $i$ -ésimo bit de  $X$
- $s_0$ : bit menos significativo de  $S$
- $c_0$ : bit menos significativo de  $C$
- $y_0$ : bit menos significativo de  $Y$
- $R$ : Pré-computação de  $Y + M$

```

1. S := 0; C := 0;
2. Para i = 0 até n-1 faça
3.   Se (s0 = c0) e not x0 então I := 0;
4.   Se (s0 ≠ c0) e not x0 então I := M;
5.   Se not (s0 ⊕ c0 ⊕ y0) e not x0 então I := Y;
6.   Se (s0 ⊕ c0 ⊕ y0) e not x0 então I := R;
7.   S, C := S + C + I;
8.   S := S/2; C := C/2;
9. P := S + C;
10. Se P ≥ M então P := P - M;

```

Figura 4 – Multiplicação Mais Rápida de Montgomery

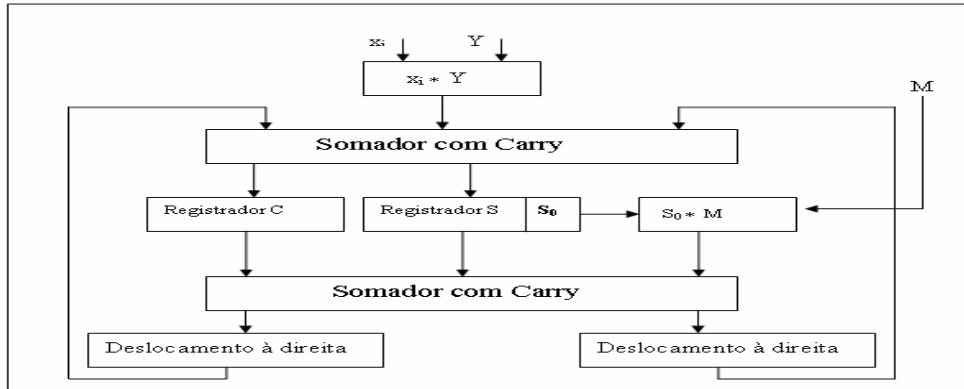


Figura 5 – Implementação em hardware do *loop* do algoritmo 2.

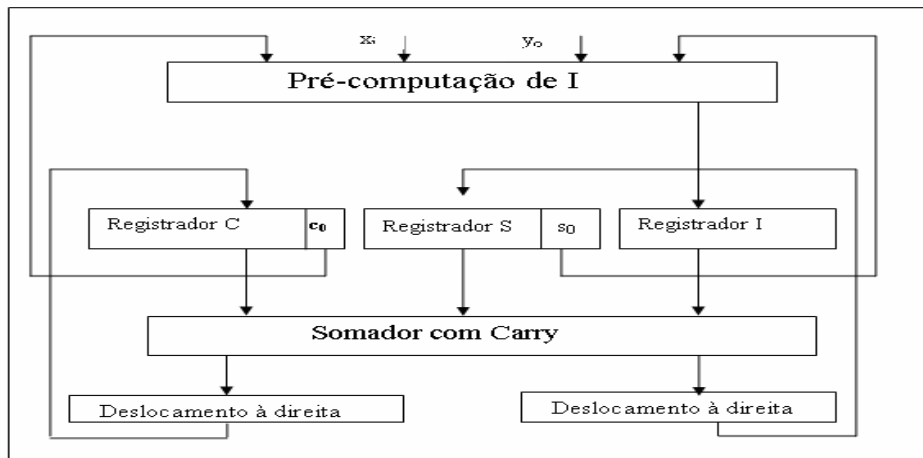


Figura 6 – Implementação do *loop* do algoritmo 3

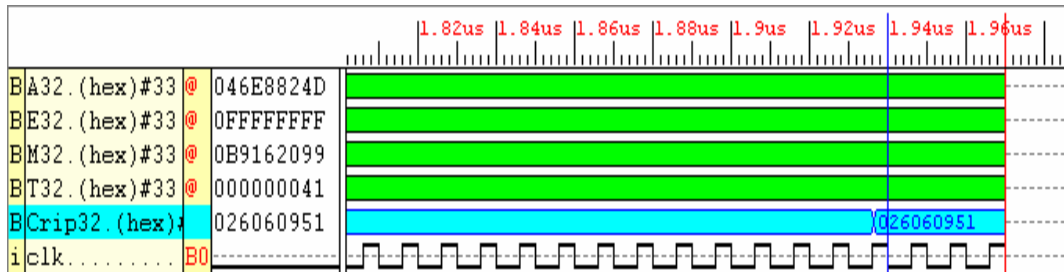


Figura 7 – Simulação de Criptografia para chave de 64 bits

#### 4. Implementações em Hardware (FPGAs)

Nesta seção são examinadas duas implementações do algoritmo de Montgomery, descrito em VHDL. A primeira refere-se ao algoritmo rápido de Montgomery (algoritmo 2) e a segunda, ao algoritmo mais rápido de Montgomery (algoritmo 3). O maior espaço de uso de hardware desses algoritmos deve-se ao uso dos somadores (ver figuras 5 e 6).

Nessas figuras é possível observar que os registradores **S** e **C** são necessários em ambas as

implementações, sendo desnecessário o registrador **I**, na implementação do algoritmo 3, mas que foi incluído por tornar mais simples a implementação. Os registradores **Y** e **M** do algoritmo 2 foram substituídos no algoritmo 3 pela pré-computação de **I**.

Com relação à velocidade do algoritmo, no caso do algoritmo 2 a computação é efetuada por dois somadores, consecutivamente, enquanto no algoritmo 3 a passagem por um dos somadores é substituída por uma comparação e uma adição, o que permite intuir que este algoritmo talvez seja bem mais rápido do que o primeiro.

A figura 7 mostra resultados da simulação do algoritmo mais rápido de Montgomery, obtido usando a ferramenta ISE da Xilinx.

A máquina de estados finitos que controla a nossa implementação do algoritmo criptográfico RSA, que utiliza a multiplicação modular baseada no algoritmo Rápido de Montgomery (*Fast Montgomery Algorithm*). Esse algoritmo foi descrito em linguagem VHDL e prototipado em FPGAs [Bissoli, 2007]. O funcionamento dessa máquina de estados pode ser visto da seguinte forma:

- No estado 000 são feitas as inicializações.
- O estado 001 chama o estado 011 e decreta  $i$  (contador dos bits de E) até localizar o primeiro bit significativo de E.
- No estado 010 recebe o valor do somador e decide se chama os estados 011, 100 ou 110, de conformidade com o algoritmo de Montgomery.
- Os estados 011, 100 ou 110, atribuem os valores às variáveis X e Y, de acordo com o algoritmo de Montgomery.
- O Estado 110 finaliza o programa e atribui à Porta de Saída C o valor cifrado pelo RSA.
- Deve-se notar a importância da variável Temp que faz o programa “decidir”, no estado 010, se o próximo estado a ser “chamado” é o estado 011 ou 100.
- Observar também que o sinal  $P := Pout$  no estado 010 refere-se à chamada de uma soma efetuada por um somador com *carry*, efetuada por um componente VHDL.

Na Figura 8 é apresentada a máquina de estados de nosso algoritmo RSA, em linguagem VHDL, que cifra um caractere seguindo o algoritmo Mais Rápido de Montgomery (*Faster Montgomery Algorithm*). Com relação à figura 8 devem ser feitas as seguintes considerações:

Seja **T** o texto claro; **M**, o módulo; **n** o número de bits de **T** ou de **E** (o programa foi feito para **T** e **E** terem o mesmo número de bits) e **C** o texto cifrado. Sejam **X**, **Y**, **P**, **Temp**, **flag** e **Pout** variáveis utilizadas no programa.

O funcionamento se explica através dos seguintes estados:

- No estado 000 são feitas as inicializações das portas lógicas.
- No estado 001 é feito um *loop*, sem a utilização do comando de *loop* do VHDL, para que o programa inicie a criptografia

somente após ser detectado o primeiro bit significativo de E.

- No estado 010 é feito todo o processamento utilizando-se um único somador.
- O estado 011 efetua a soma de S e C, e efetua a subtração do módulo, se necessário, e “chama” os estados 100 ou 101, de acordo com o bit atual. Se o bit atual for 1, o próximo estado é 101, senão o próximo estado é 100.
- O estado 110 finaliza o programa e atribui o valor cifrado à porta de saída Crip.

Esses algoritmos foram descritos em VHDL e prototipados em um FPGA, usando a ferramenta XST da versão 8.2 do Xilinx e utilizando-se uma placa FPGA XC4VFX12 modelo 12FF668.

Os resultados de ocupação de recursos espaciais do FPGA e da velocidade alcançada são mostrados nas tabelas 1 e 2. Foram realizadas implementações para chaves criptográficas de tamanho variável, tendo sido possível mapear o algoritmo para chaves de 16, 32 e 64 bits.

Dos resultados das Tabela 2 é possível concluir que dos algoritmos utilizados o programa RSA que utiliza o método Mais rápido de Montgomery (algoritmo 3) é aquele que precisa de menos recursos do FPGA, o que significa que um circuito integrado teria menos área, e portanto menor tamanho do CI. A velocidade, dada pelo tempo de atraso do circuito e pela frequência de operação da solução em hardware, também se mostrou bem mais rápida do que a versão rápida do algoritmo.

Esse desempenho superior do Algoritmo mais Rápido de Montgomery deve-se ao fato de que neste algoritmo é utilizado um único somador, enquanto que no algoritmo Rápido de Montgomery são utilizados dois somadores para se efetuar a potenciação modular.

A figura 9 mostra um comparativo da velocidade do algoritmo mais rápido implementado em software (usando linguagem C em um PC Pentium 4, 512 MB de memória), e em hardware (FPGAs) para chaves de tamanho 16, 32 e 64 bits.

A figura 10 mostra um comparativo da velocidade de cifragem obtida em hardware das duas versões do algoritmo de Montgomery, o rápido e o mais rápido. Os dados da velocidade em Mbytes/s foram calculados usando os tempos obtidos na simulação com a ferramenta da Xilinx Foundations, e mostrados nas tabelas 1 e 2.

O gargalo do processamento é exatamente a potenciação modular, pois os demais estados do algoritmo RSA consistem praticamente de atribuição de valores às variáveis. Assim, verifica-se na figura 8 que o algoritmo Faster (mais rápido) é aproximadamente 10% mais veloz do que o algoritmo Fast (rápido) de Montgomery em programas idênticos em linguagem VHDL.

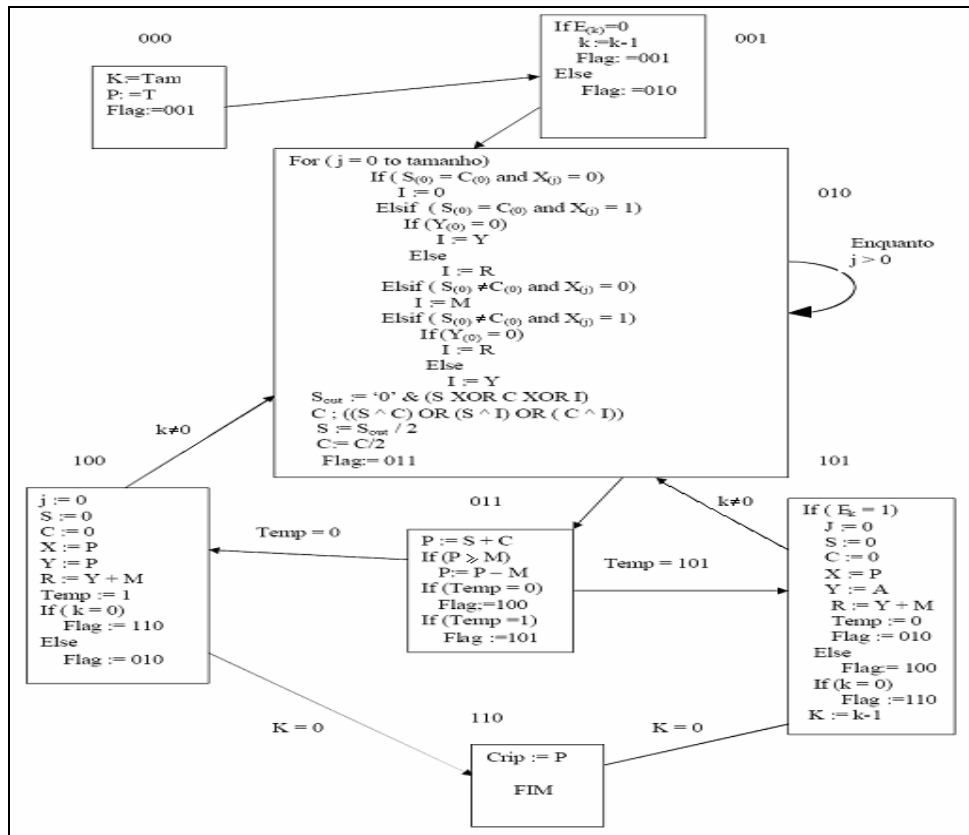


Figura 8 – Máquina de Estados do RSA usando o Algoritmo Mais rápido de Montgomery

Tabela 1. Estatísticas de Recursos Espaciais e Temporais em FPGAs – Algoritmo Rápido de Montgomery

Chaves	Slices	Flip-Flops	LUTs(4)	*TMP (ns).	Freq.Max [MHz]
16bits	386 = 7%	52 = 0%	727 = 6%	55.324	18.378
32 bits	1342= 24%	157 =1%	2582 = 23%	118.252	8.530
64 bits	4992 =91%	335 = 3%	9743 = 89%	272.347	3.688

Tabela 2. Estatísticas de Recursos Espaciais e Temporais em FPGAs – Algoritmo Mais Rápido de Montgomery

Chaves	Slices	Flip-Flop	LUTs(4)	TPM*(ns).	Freq.Max [MHz]
16 bits	249= 4%	70 = 0%	481 = 4%	9.359	106.211
32 bits	801 =14%	178 =1%	1557 =14%	18.944	52.943
64 bits	2979 = 54%	415 =3%	5823 =53%	44.334	22.915

\*Tempo Máximo de Propagação

Outro ponto importante de destacar é aquele observado na figura 11, que mostra as velocidades de outras três implementações da multiplicação modular. Neste caso, compara-se a velocidade obtida com o algoritmo de Brakely, o algoritmo de Gutub, e o algoritmo de Montgomery. Para mais detalhes, ver [Bissoli, 2007]. Nessas três

implementações (ver figura 11) é possível observar que o atraso máximo do circuito em hardware aumenta conforme se aumenta o tamanho da chave (para os algoritmos Brakely e rápido de Montgomery), não obstante, o algoritmo de Gutub não se mostra escalável. O algoritmo rápido de Montgomery possui velocidade rápida e permanece quase constante e invariável com o aumento da chave.



## 5. Conclusões

Este trabalho objetivou o estudo de algoritmos computacionais que pudessem acelerar os tempos de criptografia com o algoritmo RSA, em especial o algoritmo de Montgomery. Estudaram-se diversos algoritmos multiplicativos e exponenciais propostos por (KOÇ, 1994) e (Dally, 2003), com exemplos práticos ilustrativos. Estudou-se também, alternativamente, o método de Gutub para multiplicação modular binária, também aplicado ao RSA. Estes algoritmos foram implementados em linguagem de programação C e em linguagem de descrição de *Hardware* VHDL, com objetivo de compará-los com implementações em software e em Hardware.

Foram analisadas três versões do algoritmo de multiplicação de Montgomery, os quais foram descritos em VHDL e mapeados em um FPGA. Os dados apresentam que o algoritmo mais rápido de Montgomery é bem melhor, pois ocupa menos área no FPGA e possui maior velocidade de cifragem.

Contudo, foi possível se verificar que, como se suspeitava, o algoritmo RSA tem desempenho em torno de 10 vezes superior em termos de velocidade de criptografia, quando se utiliza o algoritmo de Montgomery, em vez do algoritmo multiplicativo de Brakley, tanto em *software* quanto em *Hardware*.

Cifrar com chaves muito grandes é uma dificuldade que ainda não se conseguiu superar, pelo menos a baixo custo, utilizando-se de computadores comuns.

Como exemplo, a ST Microeletrônica, com filiais em 23 países do mundo, inclusive o Brasil, oferece, por exemplo, o *smart card* ST19wk08, que contém um processador modular aritmético de 1088 bits para criptografia assimétrica RSA, com chaves de 256 a 2048 bits (obtido em anúncio que a empresa faz pela Internet). Segundo a empresa, o hardware pode cifrar assinaturas RSA com 1024 bits na velocidade de 85 ms, utilizando o ACR (algoritmo Chinês do Resto) ou em 282 ms, sem a utilização desse algoritmo.

Segundo (HANS, 2004) pode-se cifrar até 2048 bits utilizando-se de uma Máquina de Dupla Emissão (*Dual-Issue Machine*) de dois processadores, um aritmético e o outro, controlador, que consiste numa arquitetura VLIW (*Very Long Instruction Word*) que executa um grande conjunto de operações concorrentemente, onde cada palavra de instrução contém uma instrução aritmética e outra de controle.

Referências como [Amanon, 2005], [Bailey et Al., 1999], [Dally, 2003], [Data & Rakesnake, 2002], [Dormale, 2004], [Gutub, 2000] e muitas outras se referem às dificuldades para se cifrar com chaves de tamanho muito grande e utilizam o algoritmo de Montgomery para melhorar os tempos de criptografia com o RSA. Os exemplos acima, além de reiterar a existência das dificuldades que existem para se obter segurança com a utilização de chaves assimétricas para criptografia, propõem novas arquiteturas para resolver o problema.

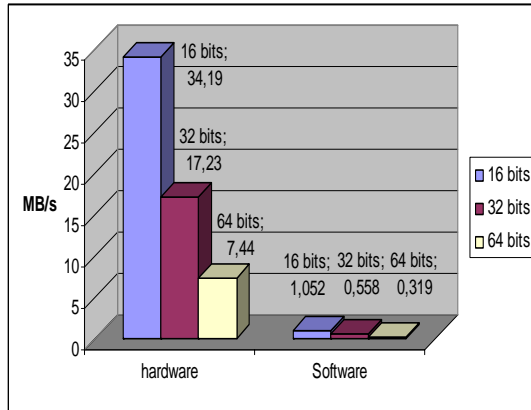


Figura 9. RSA em hardware e software

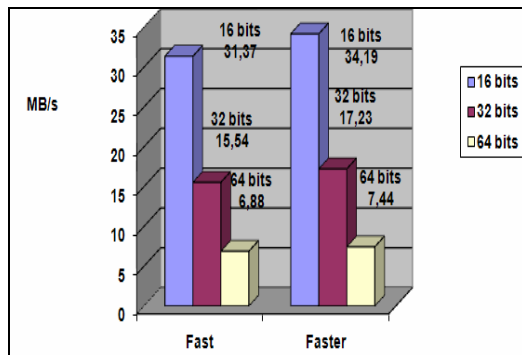


Figura 10. Velocidade do RSA usando os Algoritmos Rápido e Mais Rápido de Montgomery

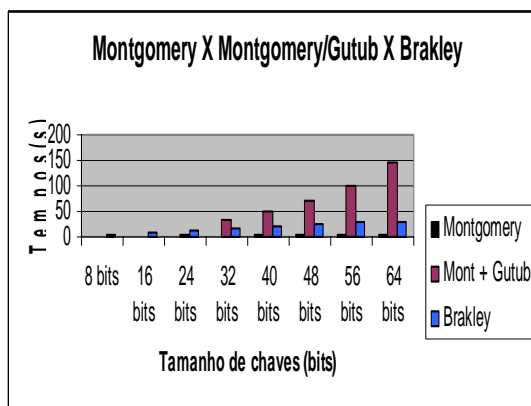


Figura 11 - Comparativo de Velocidade de criptografia com vários algoritmos

A seguir uma lista de idéias visando dar continuidade ao trabalho aqui realizado:

- Criar e propor novas arquiteturas que consigam ter uma boa utilização de recursos das FPGAs, diminuindo a ocupação das placas sem diminuir a velocidade (minimizando o tempo de propagação no circuito), para o algoritmo de Montgomery.
- Pesquisar um algoritmo computacional que melhore a velocidade do algoritmo de Montgomery.
- Tentar diminuir o tempo de propagação no circuito para o algoritmo de Gutub/Método de quadratura e multiplicação, já que ele utiliza menos ciclos para realizar a criptografia.
- Realizar otimizações nas descrições em linguagem VHDL realizadas, visando obter mais velocidade e menos recursos espaciais (físicos) das FPGAs.
- Tentar criar e propor arquiteturas especiais que permitam implementar esses algoritmos em FPGAs para um número maior de chaves. Uma dessas arquiteturas poderia ser a VLIW.

## 6. Referências

- Amanon, D.N., Dissertação de Mestrado, The University of Applied Sciences Offenburg, Germany, Supervisores Prof. Dr. Angelika Erhardt e Prof. Dr. Christof Paar.
- Bailey DV, Cammack W, Guajardo J, Paar C; Cryptography in Modern Communication Systems; Texas Instruments DSPS FEST, Houston, TX, Agosto, 1999.
- BISSOLI, MARÇAL LUIZ. Impacto da Multiplicação e Exponenciação Modular em Hardware no Algoritmo RSA. Dissertação de Mestrado, Ciência da Computação, UNIVEM, Marília, S.P., Brasil, 2007.
- Blum T., Paar C” Modular Exponentiation on Reconfigurable Hardware” (1999), A Master Thesis, The Worcester Polytechnic Institute.
- Chiaromonte R. B.; SICO: Um Sistema de Comunicação de Dados com Suporte Dinâmico à Segurança; Dissertação de Mestrado, UNIVEM, Marília, 2006.
- Dally Alan, Marnane L., Popovici E., Fast Modular Inversion in The Montgomery Domain on Reconfigurable Logic – ISSC, julho de 2003.
- Dally A.; Marnane W; Efficient Architectures for implementing Montgomery Modular multiplication and RSA Modular Exponentiation on Reconfigurable Logic; ACM, 2002.
- Data, S.A.V.A.; Rattlesnake, J.H.A.; RSA Encryption Algorithm in a Nutshell; Neworder Bol St, 2002.
- Diffie, W and M.E. Hellman, Exhaustive cryptanalysis of the NBS Data Encryption Standard; Computer 10, 1977.
- Dormale, G.M., Bulens, P., Quisquater, J-J., An Improved Montgomery Modular Inversion Targeted for Efficient Implementation on FPGA; International Conference on Field-Programmable Technology, 2004.
- Eberle, H., Gura N., Shantz S.C, Gupta V., Rarick L, Sundaran S, A Public-Key Cryptographic Process for RSA and ECC, 15º Conferencia Internacional IEEE para Sistemas de Aplicações Específicas, Arquiteturas e Processadores, 2004.
- Gaubatz, Gunnar A. MSc Thesis Submitted to the Faculty of the Worcester Polytechnic Institute, orientadores: Dr. Berk Sunar e Dr. Fred J. Looft, abril de 2002.
- Gutub, A.. Modulo Multiplication Hardware Design; Oregon State University, EGE 575, 2000.
- Khaldoon M., Prototyping Of Scalable Montgomery Multiplier Using Field Programmable Gate Arrays (FPGAs); M.S. Thesis, Department of Electrical & Computer Engineering, Oregon State University, July 23, 2002.
- Kalisy Jr, B.S., The Montgomery Inverse and its Applications; IEEE, 44(8), pg.1064-1065, Agosto de 1995.
- Knuth, E. The Art of Computer Programming - Seminumerical Algorithms; Addison-Wesley, 1997.
- Koç Ç. K.; Acar T; Kalisky Jr, B.S.. – Analyzing and Comparing Montgomery Multiplication Algorithms; IEEE Micro, v.16 n.3, p.26-33, June 1996
- Koç, Ç, K.; Montgomery Reduction With Even Modulus; IEEE Proceedings: Computers and Digital Techniques – Setembro de 1994.
- Muzzi, F. A. G., O Padrão de Segurança PKCS#11 em FPGA's – RSA um Estudo de Caso; Dissertação de Mestrado, UNIVEM, Marília, 2006.
- Mctaggart M., Introduction to cryptography, Part 3: Asymmetric cryptography, 01.03.2001, p. da IBM, Internet, abril de 2006
- Moreno E.D. et Al. Criptografia em Software e hardware; Livro pela Editora Novatec, pg. 288 – 2005
- Prince, B.J., Scalable Montgomery Multiplication Algorithm; Oregon State University, Department of Electrical & Computer Engineering, 2002.
- Rivest, R.; Shamir, A.; Adleman, L. A Method for Obtaining Digital Signatures and Public-Key Cryptosystems; Communications of ACM, 1978.
- Savas E.; Koç, Ç.K. The Montgomery Modular Inverse – Revisited; IEEE, Special issue on computer arithmetic, Vol.49, nº 7, julho de 2000, pg 763-766.
- S. C. Shantz S. C. Shantz, “From Euclid's GCD to Montgomery multiplication to the great divide,” Tech. Rep. TR-2001-95, Sun Microsystems Laboratories, Santa Clara, Calif, USA, June 2001.
- Todorov G.; Tenca A.F.; ASIC Design, Implementations and Analysis of a Scalable High-Radix Montgomery Multiplier – M.S.Thesis - Dezembro – 2000.